

МДТКИ-800-12К

IGBT
модули

www.elvpr.ru

www.moris.ru/~martin

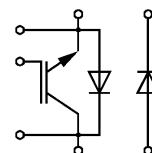
СИЛОВОЙ IGBT МОДУЛЬ

- ◆ одиночный ключ с диодом чоппера (диод может быть подключен как со стороны эмиттера, так и со стороны коллектора с помощью внешних силовых шин)
- ◆ кристаллы IGBT IV поколения с вертикальным каналом (trench gate)
- ◆ встроенные быстродействующие диоды обратного тока (EmCon Fast diodes)
- ◆ сверхнизкие потери в открытом состоянии
- ◆ корпус с изолированным основанием
- ◆ диагностические выводы коллектора для контроля V_{CE}



ОСНОВНЫЕ ОБЛАСТИ ПРИМЕНЕНИЯ

- ◆ преобразователи частоты
- ◆ источники бесперебойного питания
- ◆ сварочное оборудование
- ◆ ПСН подвижного состава железных дорог



ОСНОВНЫЕ ПАРАМЕТРЫ

- ◆ $V_{CES} = \underline{1200 \text{ В}}$
- ◆ $I_C = \underline{800 \text{ А}}$ ($T_C = 80 \text{ °C}$)
- ◆ $V_{CEsat} = \underline{1.7 \text{ В}}$ (тип.)
- ◆ $I_{Cpuls} = \underline{1600 \text{ А}}$ ($T_C = 80 \text{ °C}$)

МАКСИМАЛЬНО ДОПУСТИМЫЕ ЗНАЧЕНИЯ ПАРАМЕТРОВ

Наименование параметра	Условное обозначение	Значение параметра	Единица измерения
Напряжение коллектор-эмиттер	V_{CE}	1200	В
Напряжение затвор-эмиттер	V_{GE}	± 20	
Постоянный ток коллектора	I_C	при $T_C = 25 \text{ °C}$	А
		при $T_C = 80 \text{ °C}$	
Импульсный ток коллектора ($t_p = 1 \text{ мс}$, $T_C = 80 \text{ °C}$)	I_{Cpuls}	1600	
Постоянный прямой ток диода обратного тока	I_F	800	
Повторяющийся импульсный прямой ток диода обратного тока	I_{FRM}	1600	
Суммарная мощность рассеивания, IGBT (на ключ, $T_C = 25 \text{ °C}$)	P_{tot}	3900	Вт
Максимальная температура перехода	T_j	+ 150	°C
Температура хранения	T_{stg}	- 40...+ 125	
Напряжение изоляции ($t = 1 \text{ мин.}$)	V_{isol}	2500	В (эфф)
Защитный показатель ($t_p = 10 \text{ мс}$, $V_R = 0 \text{ В}$, $T_C = 125 \text{ °C}$)	I^2t	140	кА ² с

МДТКИ-800-12К

ТЕПЛОВЫЕ ПАРАМЕТРЫ

Наименование параметра	Условное обозначение	Значение параметра	Единица измерения
Тепловое сопротивление переход-корпус, IGBT (на один ключ)	R_{thjc}	≤ 0.032	°C/Вт
Тепловое сопротивление переход-корпус, диод обратного тока / диод чоппера	R_{thjCD} / R_{thjCDC}	≤ 0.064	
Тепловое сопротивление корпус-охладитель, $\lambda_{paste} = 1$ Вт/м ² ·°C, на модуль (типичное значение)	R_{thck}	0.006	°C/Вт

ЭЛЕКТРИЧЕСКИЕ ХАРАКТЕРИСТИКИ (при 25 °C, если не указано иное значение)

Наименование параметра	Условное обозначение	Значение параметра			Единица измерения
		мин.	тип.	макс.	
Статические характеристики					
Пороговое напряжение затвор-эмиттер ($V_{GE} = V_{CE}$, $I_C = 32$ мА)	$V_{GE(th)}$	5	5.8	6.5	В
Напряжение насыщения коллектор-эмиттер ($V_{GE} = 15$ В, $I_C = 800$ А) при $T_j = 25$ °C при $T_j = 125$ °C	V_{CEsat}	- -	1.7 2	2.15 -	
Ток утечки коллектор-эмиттер ($V_{CE} = 1200$ В, $V_{GE} = 0$ В) при $T_j = 25$ °C при $T_j = 125$ °C	I_{CES}	- -	- -	5 -	мА
Ток утечки затвор-эмиттер ($V_{GE} = 20$ В, $V_{CE} = 0$ В)	I_{GES}	-	-	400	нА
Характеристики на переменном токе					
Входная емкость ($V_{CE} = 25$ В, $V_{GE} = 0$ В, $f = 1$ МГц)	C_{ies}	-	57	-	нФ
Обратная переходная емкость ($V_{CE} = 25$ В, $V_{GE} = 0$ В, $f = 1$ МГц)	C_{res}	-	2.7	-	
Заряд затвора ($V_{GE} = \pm 15$ В)	Q_{rr}	-	7.7	-	мкКл
Характеристики переключения (индуктивная нагрузка, при $T_j = 125$ °C)					
Время включения ($V_{CC} = 600$ В, $V_{GE} = \pm 15$ В, $I_C = 800$ А, $R_G = 3.3$ Ом) при $T_j = 25$ °C при $T_j = 125$ °C	t_{on}	- -	0.6 0.66	- -	мкс
Время задержки выключения $V_{CC} = 600$ В, $V_{GE} = \pm 15$ В, $I_C = 800$ А, $R_G = 0.39$ Ом) при $T_j = 25$ °C при $T_j = 125$ °C	$t_{d(off)}$	- -	0.82 0.96	- -	



МДТКИ-800-12К

Время нарастания $(V_{CC} = 600 \text{ В}, V_{GE} = \pm 15 \text{ В}, I_C = 800 \text{ А}, R_G = 3.3 \text{ Ом})$ при $T_j = 25 \text{ }^\circ\text{C}$ при $T_j = 125 \text{ }^\circ\text{C}$	t_r	-	0.23	-	мкс
		-	0.22	-	
Время спада $V_{CC} = 600 \text{ В}, V_{GE} = \pm 15 \text{ В}, I_C = 800 \text{ А}, R_G = 0.39 \text{ Ом})$ при $T_j = 25 \text{ }^\circ\text{C}$ при $T_j = 125 \text{ }^\circ\text{C}$	t_f	-	0.15	-	мкс
		-	0.18	-	
Энергия потерь при включении $(V_{CC} = 600 \text{ В}, V_{GE} = \pm 15 \text{ В}, I_C = 800 \text{ А}, R_G = 3.3 \text{ Ом},$ $T_j = 125 \text{ }^\circ\text{C}, L_S = 90 \text{ нГн}, \text{ за один импульс})$	E_{on}	-	160	-	мДж
Энергия потерь при выключении $(V_{CC} = 600 \text{ В}, V_{GE} = \pm 15 \text{ В}, I_C = 800 \text{ А}, R_G = 0.39 \text{ Ом},$ $T_j = 125 \text{ }^\circ\text{C}, L_S = 90 \text{ нГн}, \text{ за один импульс})$	E_{off}	-	125	-	
Ток короткого замыкания $(t_p \leq 10 \text{ мкс}, V_{CC} = 900 \text{ В}, V_{GE} \leq 15 \text{ В},$ $V_{CEmax} = V_{CES} - L_{\sigma(CE)} \times di/dt, T_j \leq 125 \text{ }^\circ\text{C})$	I_{SC}	-	3200	-	А
Внутренняя индуктивность модуля по цепи коллектор-эмиттер $T_C = 25 \text{ }^\circ\text{C}$	$L_{\sigma(CE)}$	-	20	-	нГн
	$R_{CC/EE'}$	-	0.18	-	МОм
Характеристики диода обратного тока					
Прямое падение напряжения ($I_F = 800 \text{ А}, V_{GE} = 0 \text{ В}$) при $T_j = 25 \text{ }^\circ\text{C}$ при $T_j = 125 \text{ }^\circ\text{C}$	V_F	-	2.2	2.8	В
		-	2.0	-	
Ток обратного восстановления ($I_F = 800 \text{ А}, V_{GE} = -15 \text{ В},$ $V_R = 600 \text{ В}, di_F/dt = -3600 \text{ А/мкс}$) при $T_j = 25 \text{ }^\circ\text{C}$ при $T_j = 125 \text{ }^\circ\text{C}$	I_{RM}	-	260	-	А
		-	400	-	
Заряд обратного восстановления ($I_F = 800 \text{ А}, V_{GE} = -15 \text{ В},$ $V_R = 600 \text{ В}, di_F/dt = -3600 \text{ А/мкс}$) при $T_j = 25 \text{ }^\circ\text{C}$ при $T_j = 125 \text{ }^\circ\text{C}$	Q_{rr}	-	37	-	мкКл
		-	90	-	
Энергия обратного восстановления ($I_F = 800 \text{ А}, V_{GE} = -15 \text{ В},$ $V_R = 600 \text{ В}, di_F/dt = -3600 \text{ А/мкс}$) при $T_j = 25 \text{ }^\circ\text{C}$ при $T_j = 125 \text{ }^\circ\text{C}$	E_{rec}	-	9	-	мДж
		-	24	-	



МДТКИ-800-12К

Характеристики диода чоппера

Прямое падение напряжения ($I_F = 800 \text{ A}$, $V_{GE} = 0 \text{ B}$) при $T_j = 25 \text{ }^\circ\text{C}$ при $T_j = 125 \text{ }^\circ\text{C}$	V_F	- -	2.2 2.0	2.8 -	В
Ток обратного восстановления ($I_F = 800 \text{ A}$, $V_{GE} = -15 \text{ B}$, $V_R = 600 \text{ B}$, $di_F/dt = -3600 \text{ A/мкс}$) при $T_j = 25 \text{ }^\circ\text{C}$ при $T_j = 125 \text{ }^\circ\text{C}$	I_{RM}	- -	260 400	- -	А
Заряд обратного восстановления ($I_F = 800 \text{ A}$, $V_{GE} = -15 \text{ B}$, $V_R = 600 \text{ B}$, $di_F/dt = -3600 \text{ A/мкс}$) при $T_j = 25 \text{ }^\circ\text{C}$ при $T_j = 125 \text{ }^\circ\text{C}$	Q_{rr}	- -	37 90	- -	мкКл
Энергия обратного восстановления ($I_F = 800 \text{ A}$, $V_{GE} = -15 \text{ B}$, $V_R = 600 \text{ B}$, $di_F/dt = -3600 \text{ A/мкс}$) при $T_j = 25 \text{ }^\circ\text{C}$ при $T_j = 125 \text{ }^\circ\text{C}$	E_{rec}	- -	9 24	- -	мДж

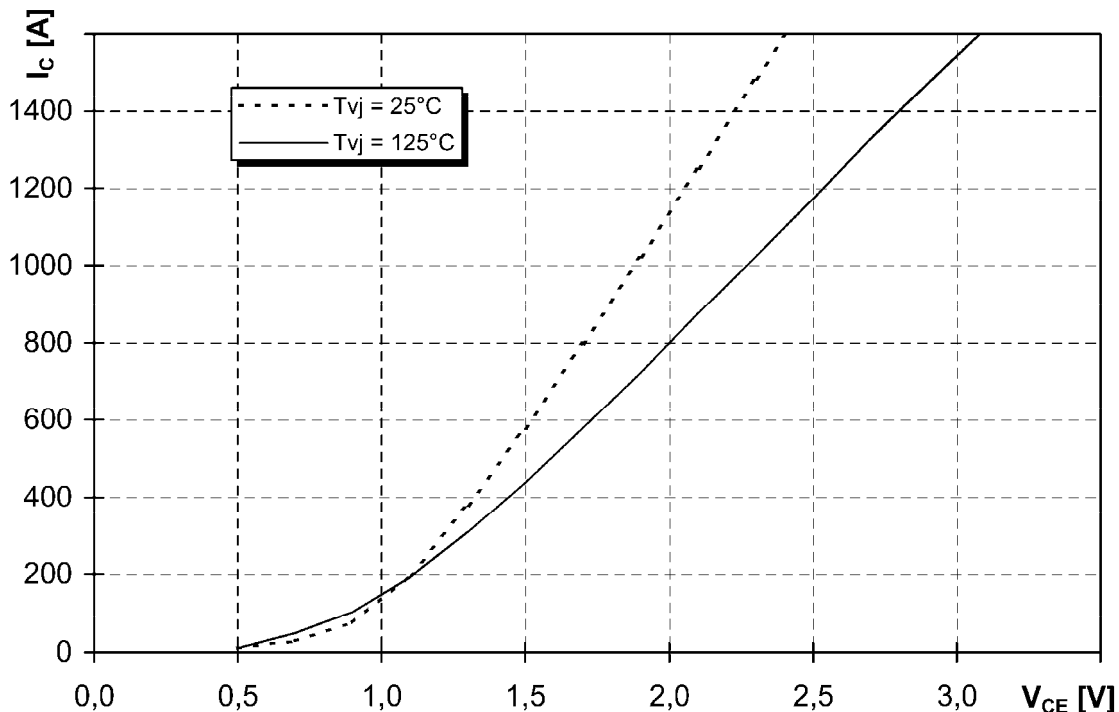


МДТКИ-800-12К

Типовые выходные характеристики

$$I_C = f(V_{CE})$$

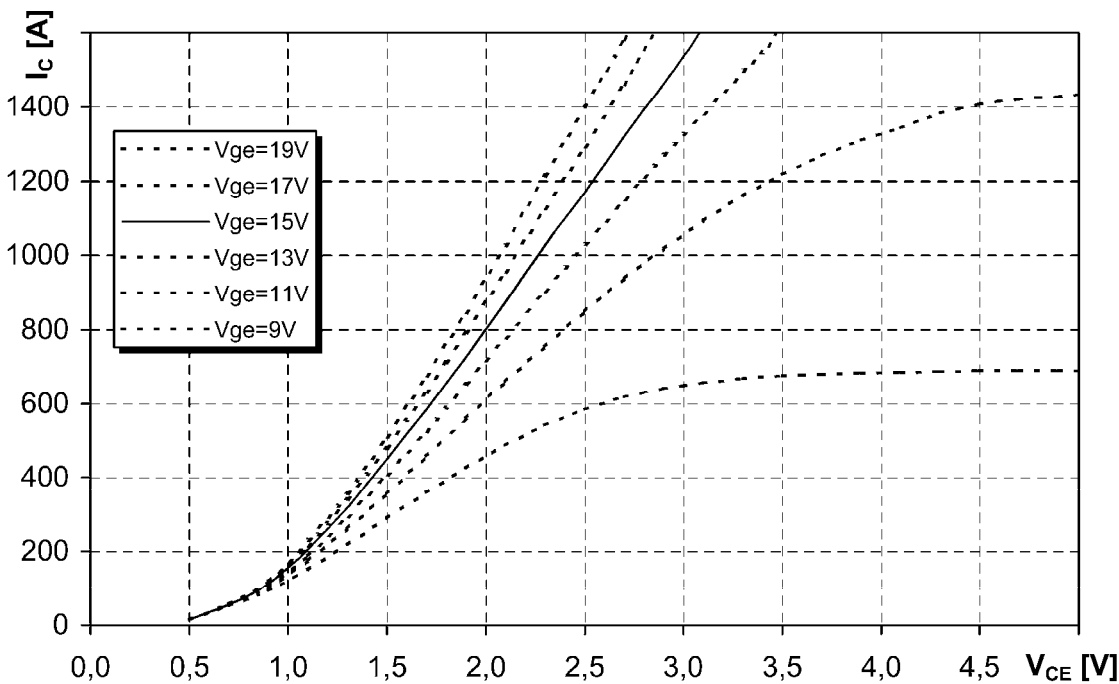
Режим измерения: $V_{GE} = +15\text{ В}$, $T_j = 25, 125\text{ }^\circ\text{C}$



Типовые выходные характеристики

$$I_C = f(V_{CE})$$

Режим измерения: $T_j = 125\text{ }^\circ\text{C}$



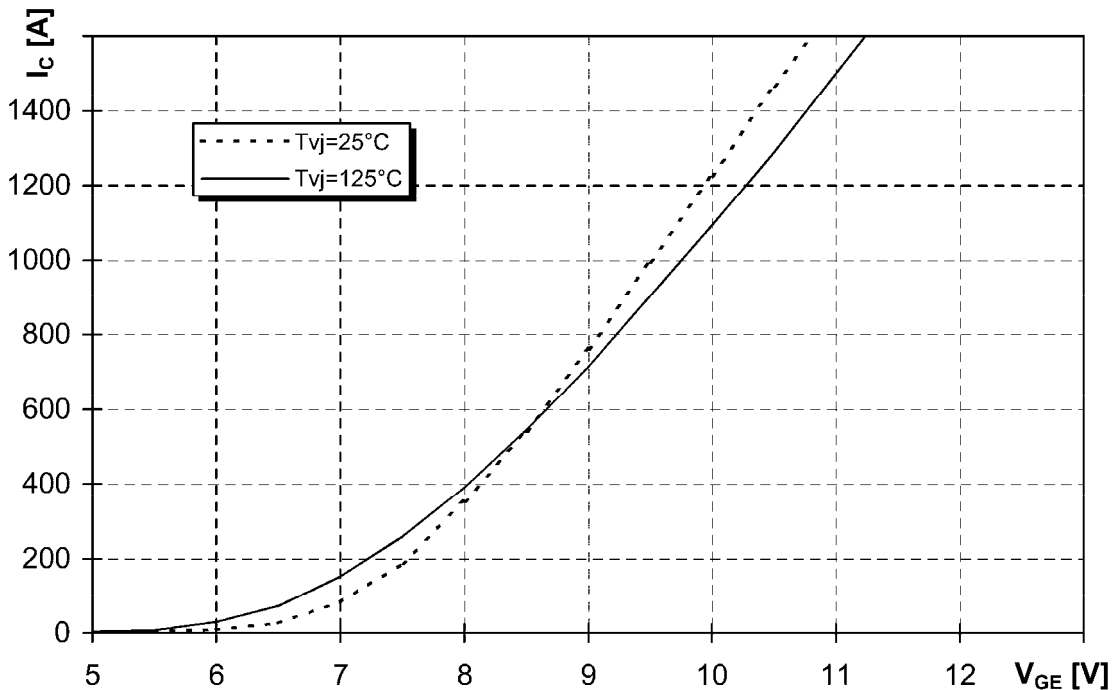


МДТКИ-800-12К

Типовые передаточные характеристики

$$I_C = f(V_{GE})$$

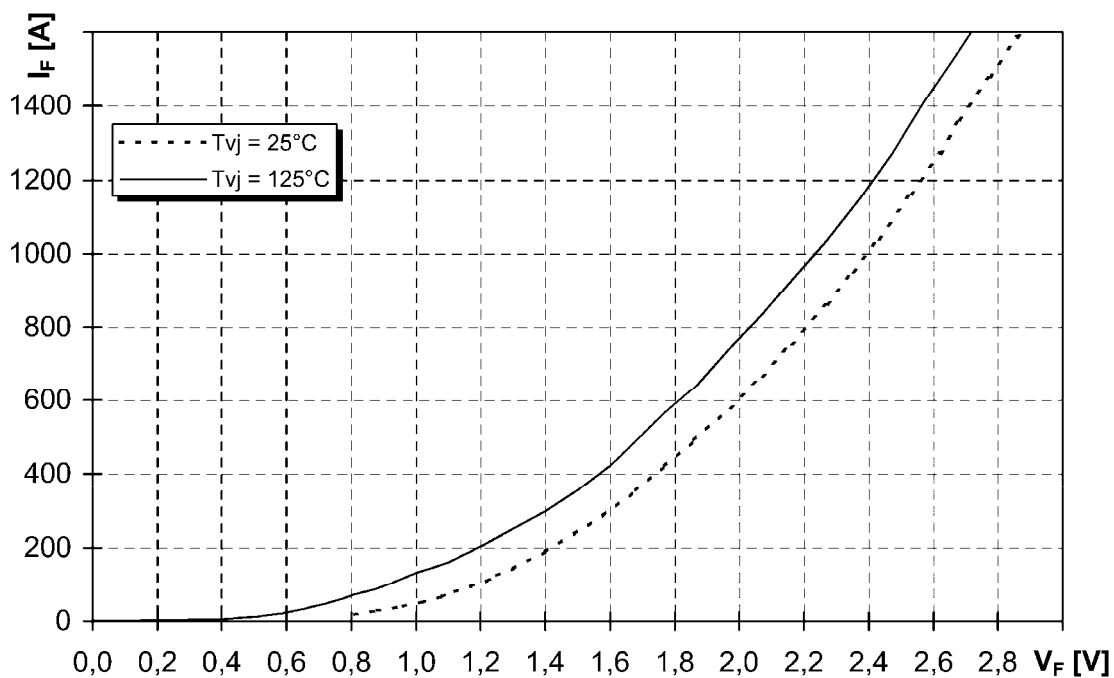
Режим измерения: $V_{CE} = 20 \text{ В}$, $T_j = 25, 125 \text{ }^\circ\text{C}$



Типовые прямые характеристики диода обратного тока

$$I_F = f(V_F)$$

Режим измерения: $T_j = 25, 125 \text{ }^\circ\text{C}$



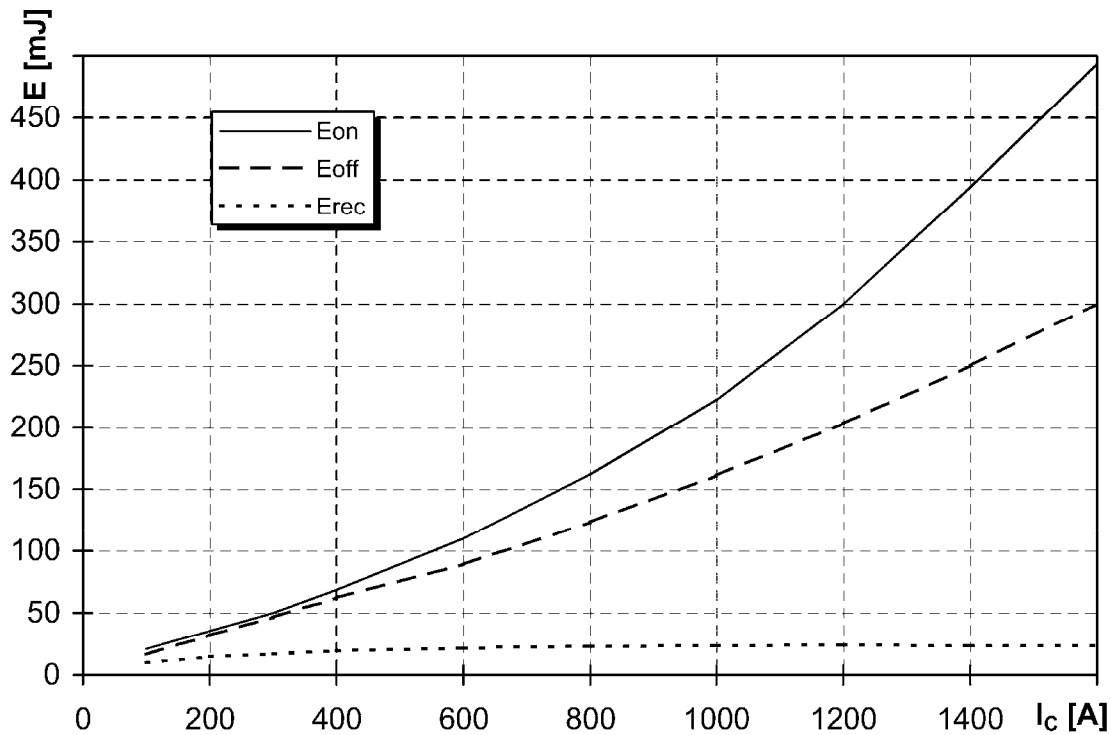


МДТКИ-800-12К

Типовые зависимости коммутационных потерь

$E_{on} = f(I_C)$, $E_{off} = f(I_C)$, $E_{rec} = f(I_C)$ индуктивная нагрузка

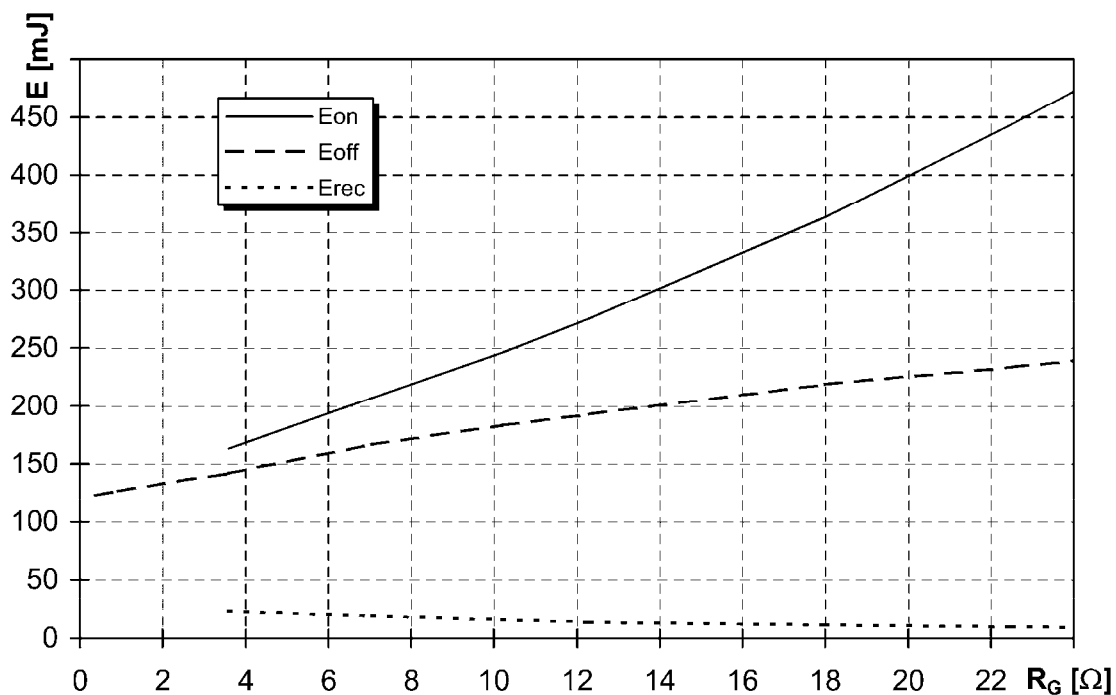
Режим измерения: $V_{CE} = 600$ В, $V_{GE} = \pm 15$ В, $R_{GON} = 3.3$ Ом, $R_{GOFF} = 0.39$ Ом, $T_j = 125$ °С



Типовые зависимости коммутационных потерь

$E_{on} = f(R_G)$, $E_{off} = f(R_G)$, $E_{rec} = f(R_G)$ индуктивная нагрузка

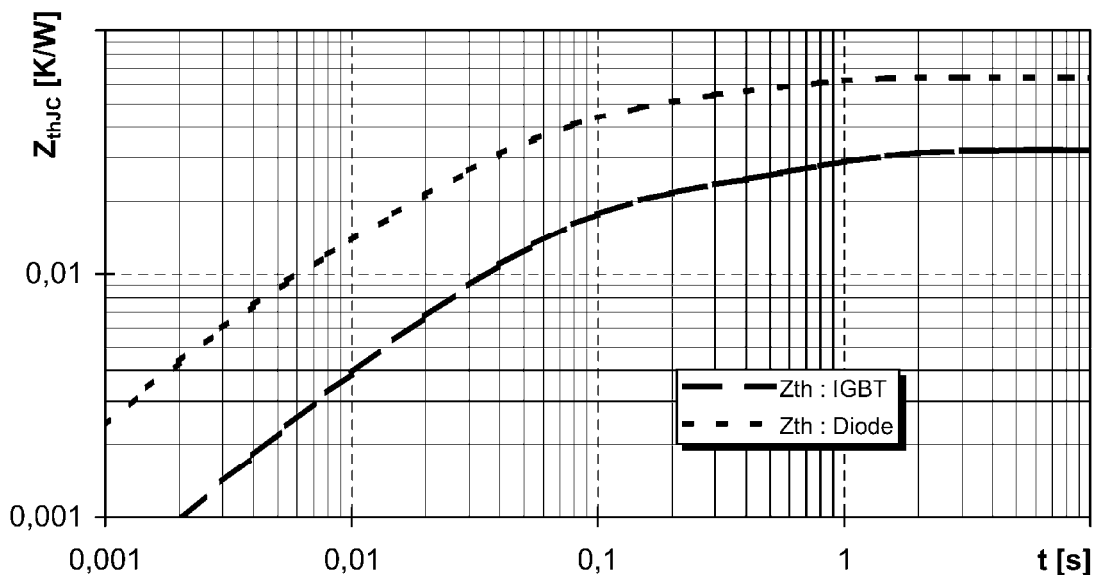
Режим измерения: $V_{CE} = 600$ В, $V_{GE} = \pm 15$ В, $T_j = 125$ °С



МДТКИ-800-12К

Переходное тепловое сопротивление

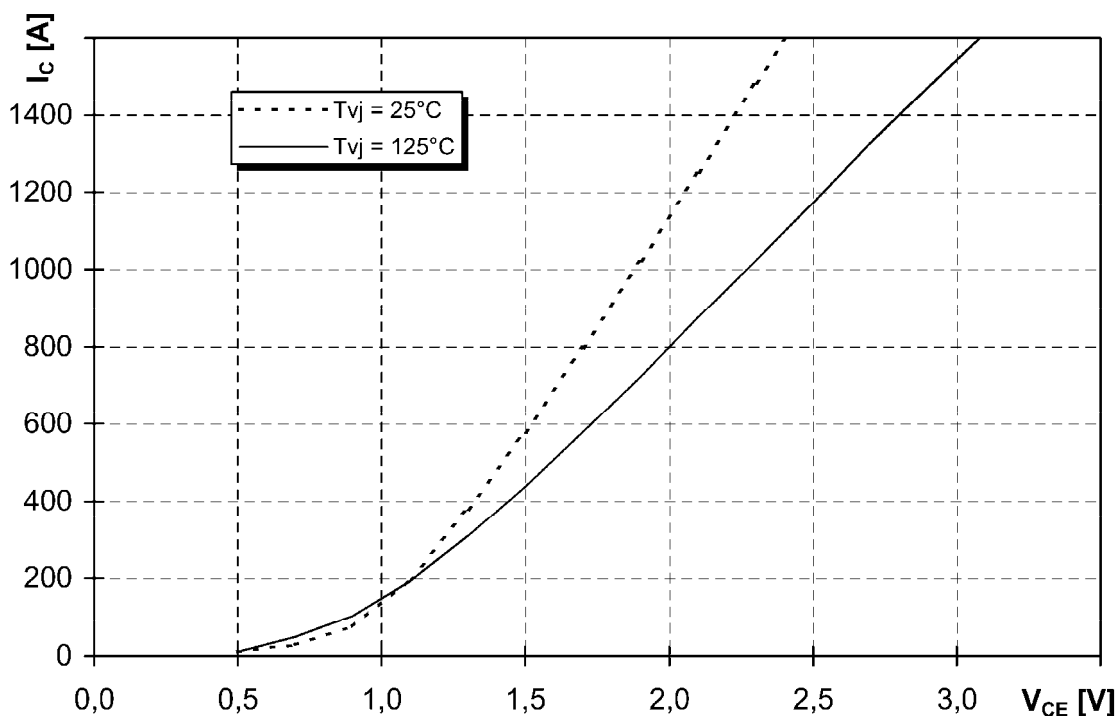
$$Z_{thjc} = f(t_p)$$



Обратная область безопасной работы

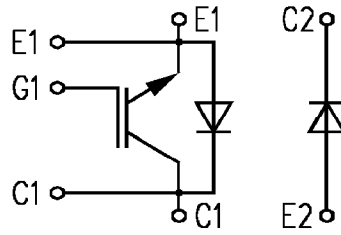
$$I_{C\ puls} = f(V_{CE})$$

Режим измерения: $V_{GE} = \pm 15\text{ В}$, $T_j = 125\text{ }^\circ\text{C}$

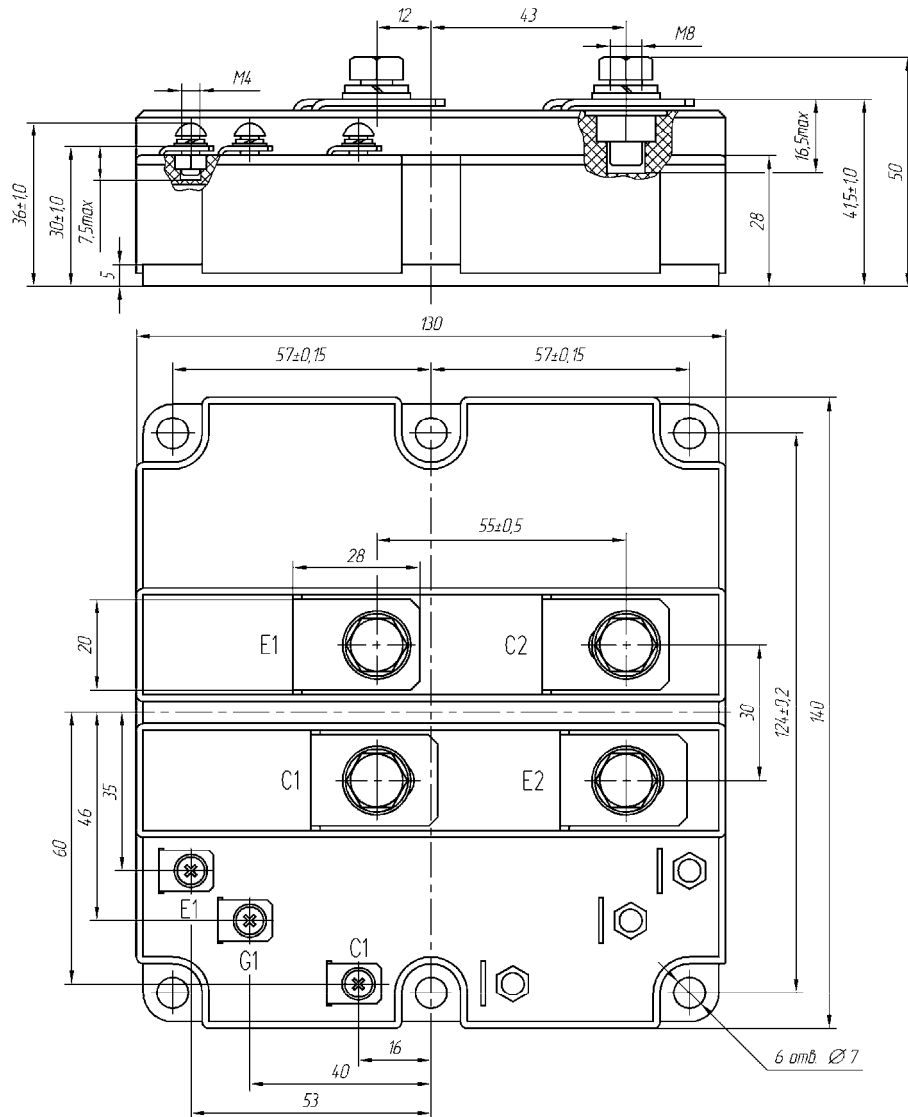


МДТКИ-800-12К

СХЕМА ЭЛЕКТРИЧЕСКАЯ ПРИНЦИПИАЛЬНАЯ



ГАБАРИТНЫЕ И УСТАНОВОЧНЫЕ РАЗМЕРЫ



Масса 1.5 кг